

ПЕТРОЛОГИЯ

УДК 552.16

МЕТАМОРФИЗМ УНИЙСКОЙ СВИТЫ КАК ИНДИКАТОР
РАННЕДОКЕМБРИЙСКИХ КОЛЛИЗИОННЫХ ПРОЦЕССОВ
В ВЯТСКОМ ПОЯСЕ, СЕВЕРО-ВОСТОК ВОЛГО-УРАЛИИ

© 2023 г. Т. А. Пилицына^{1,2,*}, К. Г. Ерофеева¹, член-корреспондент РАН А. В. Самсонов¹,
А. В. Постников³, Д. А. Варламов⁴

Поступило 13.12.2022 г.

После доработки 18.01.2023 г.

Принято к публикации 23.01.2023 г.

В центральной части Вятского пояса, расположенного между архейскими блоками на северо-востоке Волго-Уральского сегмента Восточно-Европейского кратона, по данным керна двух глубоких скважин в метапелитах унийской свиты установлены следующие минеральные парагенезисы (1) $Pl + Ms + Bt + Qz + Kfs + And \pm Chl$ и (2) $Pl + Bt + Qz + Kfs + Grt + Sil \pm Ms \pm Chl$. Для определения PT -условий образования этих парагенезисов был использован комплекс методов, включая классическую ($Grt-Bt$, GASP, $Ti-in-Bt$, $Ms-Bt$) и мультиравновесную термобарометрию (winTWQ 2.34), а также метод пересечения изоплет на диаграммах псевдосечений (GeoPS 3.2.2.128). Рассчитанные значения PT -параметров метаморфизма составляют 520–650°C (или до 690°C по методу изоплет) и 2–5.4 кбар. Метаморфизм парагнейсов, содержащей парагенезис (2), сопровождался частичным плавлением, происходившим в условиях водонасыщенной системы. По характеру метаморфизма пород унийской свиты относится к сравнительно малоглубинному типу, к андалузит-силлиманитовой фациальной серии амфиболитовой фации и связан с деформациями во время орогенеза.

Ключевые слова: метаморфизм НТ/LP-типа, термобарометрия, winTWQ, GeoPS, метапелиты, палеопротерозойский ороген, Волго-Урал

DOI: 10.31857/S2686739722602836, **EDN:** FEXQGG

ВВЕДЕНИЕ

Вятский пояс, расположенный между архейскими блоками на северо-востоке Волго-Уральского сегмента Восточно-Европейского кратона (рис. 1), представляет собой комплекс раннедокембрийских супракrustальных пород, полностью перекрытых мощным осадочным чехлом, и информация о его строении и составе базируется на результатах изучения нескольких глубоких скважин. Согласно имеющимся данным [1, 2], Вятский пояс сложен метаморфизованными вул-

каногенно-осадочными отложениями унийской свиты с возрастом около 2.1 млрд лет, которые прорваны гранитоидами S-типа талицкого комплекса с возрастом около 2.05 млрд лет. На основании изотопно-геохимического и геохронологического изучения керна скважин, Вятский пояс рассматривается как часть палеопротерозойского орогена [2]. Представленные в данной статье результаты исследований метаморфических пород унийской свиты дают дополнительную независимую оценку палеотектонических условий формирования Вятского пояса.

МЕТОДИКА

В данной работе приведены результаты исследования двух образцов метапелитов из скважин Уни-3 и Уни-50. Определение составов минералов проводилось в прозрачно-полированных шлифах на электронном сканирующем микроскопе “Tescan” VEGA-II XMU с энергодисперсионным спектрометром INCA Energy 450 (Черноголовка, ИЭМ РАН).

Содержания петrogenных элементов в породах определялись на спектрометре последовательно-

¹Институт геологии рудных месторождений, петрографии, минералогии и геохимии Российской академии наук, Москва, Россия

²Институт минералогии, геохимии и кристаллохимии редких элементов, Москва, Россия

³Российский государственный университет нефти и газа (национальный исследовательский университет) им. И.М. Губкина, Москва, Россия

⁴Институт экспериментальной минералогии им. Д.С. Коржинского Российской академии наук, Московская область, Черноголовка, Россия

*E-mail: allafia@yandex.ru

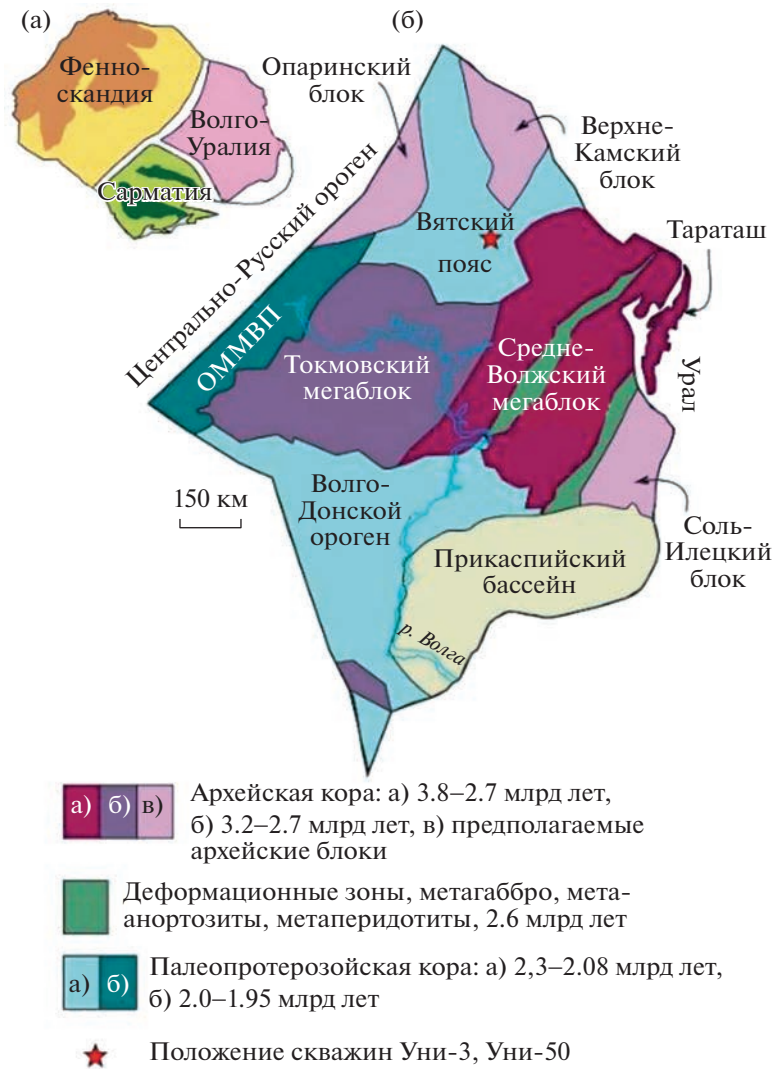


Рис. 1. а – Три сегмента Восточно-Европейского кратона по [3]. б – Главные структурные элементы Волго-Уральского сегмента ВЕК по [3] с дополнениями. ОММВП – Осницко-Микашевичи-Московский вулканический пояс.

го действия PW-2400 в ИГЕМ РАН. Точность анализа составляла 1–5 отн. % для элементов с концентрациями выше 0.5 мас. % и до 12 отн. % для элементов с концентрацией ниже 0.5 мас. %.

Параметры давления и температуры метаморфизма пород были количественно охарактеризованы с использованием классических методов геотермобарометрии, основанных на обменных и смешенных равновесиях и на зависимости предельной растворимости элемента в фазе от температуры, и методов мультиравновесной термобарометрии (winTWQ 2.44, GeoPS 3.2.2.128). Детальное описание методики исследования, использованных геотермобарометров и программных пакетов для моделирования приведено в *Приложении 1*. Составы поронообразующих минералов приведены в *Приложении 2*. Содержания петрогенных элементов изученных пород и диаграммы

псевдосечений для них, построенные в программе GeoPS, приведены в *Приложении 3*.

РЕЗУЛЬТАТЫ

Супракrustальные породы унийской свиты в пределах Вятского пояса различаются по структурным характеристикам и минеральному составу [2, 4]. В восточной части пояса две близкорасположенные скважины Уни-50 и Уни-3 вскрыли силиманит-гранат-биотитовые гнейсы и андалузит-двуслюдянные сланцы, соответственно, которые образовались при метаморфизме осадочных пород [4].

Силиманит-гранат-биотитовые гнейсы, вскрытые скважиной Уни-50, одинаковы по текстурно-структурным особенностям и минеральному составу на всем интервале разреза скважи-

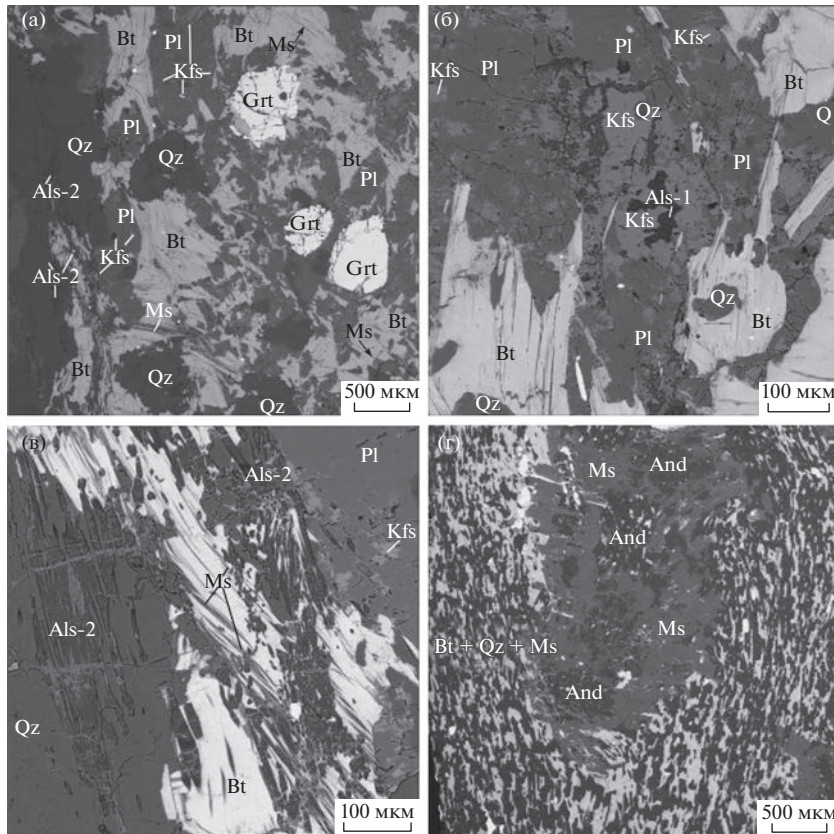


Рис. 2. Микрофотографии пород унийской свиты, изображения в отраженных электронах (BSE): а–в – силлиманит-гранат-биотитовые гнейсы, скв. Уни-50: а – порфироблазты *Grt* в меланократовой полосе, б – реликты *Als-1* в окружении *Kfs*, в – реликты *Sil* (*Als-2*), секущие мусковитизированный биотит, кварц и полевые шпаты; г – андалузит-двуслюдянные сланцы из скв. Уни-3: порфиробласт *And*, окруженный *Ms-2*, в *Bt-1-Qz-Ms-1* матрице.

ны. Текстура пород полосчатая за счет чередования тонких (3–5 мм) лейкоократовых кварц-полевошпатовых полос и меланократовых чуть более широких (5–7 мм) полос, обогащенных биотитом. На границе меланократовых и лейкоократовых полос увеличивается содержание биотита. Порфиробластовая структура пород связана с присутствием зерен граната на фоне более мелкозернистой матрицы породы (рис. 2 а).

Гранат образует изометричные зерна 0.5–0.7 мм в диаметре в биотит-кварц-полевошпатовой матрице породы, и чаще всего находится в срастаниях с биотитом. Гранат характеризуется плавно изменяющимся составом от центра (*Grt-1*: $Grs_{5-7} Alm_{75-77} Sps_{6-7} Prp_{14-16}$) к краю (*Grt-2*: $Grs_{3-4} Alm_{77-79} Sps_{7-10} Prp_{8-13}$) зерна (рис. 3 д).

Биотит образует вытянутые вдоль направления полосчатости пластинки длиной в среднем 0.5–1 мм, присутствует как виде отдельных зерен, так и в виде скоплений, имеет “рваные” края с торцов пластинок, плотно прилегает к гранатовым зернам. Состав биотита незначительно ко-

леблется в пределах каждого отдельного зерна. В крупных зернах состав неравномерно изменяется: Mg#² колеблется в диапазоне 46–49, содержание TiO₂ повышается ближе к центру зерна до 2.7–3.2 мас. % (*Bt-1*). В приконтактовой с гранатом зоне биотит имеет Mg# 49–51 и TiO₂ 1.7–2.7 мас. % (*Bt-2*) (рис. 3 е). Иногда в краевых частях биотита развит хлорит, формирующий тонкие агрегаты замещения. В отдельных чешуйках биотита развиты мусковитовые прослои ($Ms_{62} Pg_5 Cel_{15} Fcel_{18}$) (рис. 2 в). Реже в зонах с реликтами силлиманита встречаются чешуйки мусковита, почти полностью заместившие биотит ($Ms_{81-83} Pg_{2-11} Cel_{4-6} Fcel_{4-7}$). Мелкие чешуйки биотита в матрице породы по составу аналогичны *Bt-1* (Mg# = 49, TiO₂ = 2.7–3.2 мас. %).

Плагиоклаз формирует зерна диаметром 1–2 мм с неровными краями, с многочисленными включениями кварца, реликтов калиевого полевого шпата (КПШ), реликтов силлиманита. Он ксеноморфен по отношению к биотиту, который обрастает его по краям в меланократовых зонах.

¹ Аббревиатуры минералов по [5].

² Mg/(Mg + Fe²⁺), ф.е.

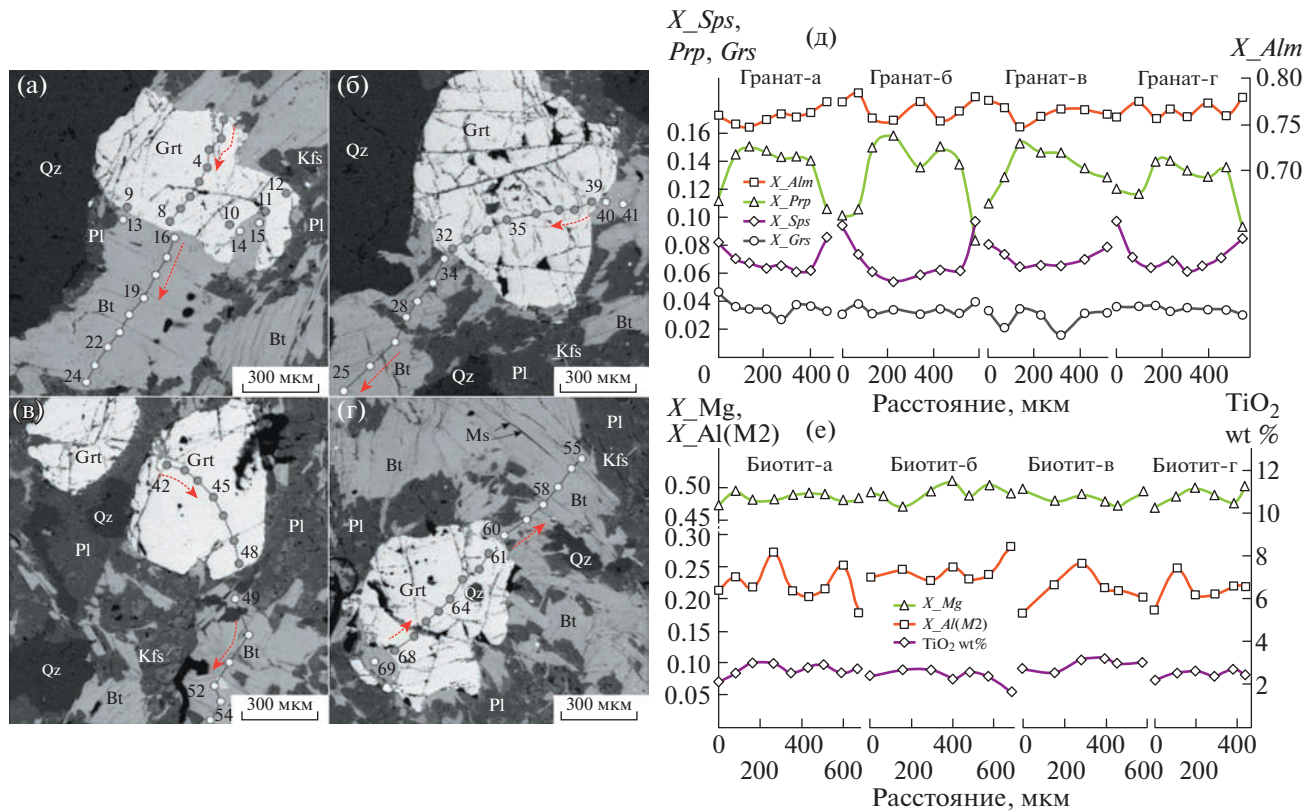


Рис. 3. Порфироблазы граната и сосуществующего биотита в гнейсах. а–г – фотографии в ВСЕ. Красными стрелками на фото показано направление профиля, точками – места анализа и их номер (Приложение 2). д – профили анализов состава через гранаты и е – сосуществующие с ними биотиты.

Имеет незначительную зональность от центра к краю зерен. Более основный состав (An_{26-28}) приходится на центральные части ($Pl-I$). Для краев зерен, в том числе и ближе к границам с гранатом, характерен более кислый состав – An_{23-25} ($Pl-2$).

КПШ представлен в виде мелких пятен с неровными границами в зернах плагиоклаза.

Алюмосиликат представлен двумя полиморфами – андалузитом (условно) и силлиманитом. Андалузит ($Als-1$) присутствует в виде зерна неправильной формы, которое окружено каймой КПШ (рис. 2 б). Силлиманит ($Als-2$) встречен в лейкохратовых полосах в виде игольчатых зерен длиной 0.1–0.2 мм, которые преимущественно пересекают кварцевые либо плагиоклазовые (An_{25-28}) зерна, либо листочки мусковитизированного биотита (состава $Bt-I$) (рис. 2 в). Оба полиморфа имеют низкие суммы составов от 79 до 85 мас. %, а количества в них атомных единиц Al и Si примерно равны, что не соответствует формуле Al_2SiO_5 и, возможно, могут представлять собой проявление псевдоморфоз каолинита.

Таким образом, можно выделить 2 парагенезиса: ранний $Grt-1 + Bt-1 + Pl-1 + Als-2 + Kfs + Qz$, который, вероятнее всего, формировался в пико-

вых условиях, и поздний (ретроградный) – $Grt-2 + Bt-2 + Pl-2 + Qz + Ms + Chl$. Вероятно, $Als-1$ является реликтом проградной стадии метаморфизма, поэтому в ассоциации пикового и ретроградного этапов он не включен.

Мелко-тонзернистые андалузит-двуслюдяные сланцы, вскрытые скважиной Уни-3, сложены ориентированными мелкими чешуйками биотита ($Bt-I$: Mg# 45–47, $TiO_2 = 1.6\text{--}2.4$ мас. %), мусковита ($Ms-I$: $Ms_{75-81} Pg_{13-19} Cel_{3-4} Fcel_{3-10}$), и зернами кварца. В незначительном количестве присутствуют мелкие зерна плагиоклаза (An_{15-17}). КПШ присутствует в плагиоклазе в виде пятен с нечеткими границами. В нижней части разреза скважины присутствуют реликты порфиробластов андалузита, “закрученных” в мусковитовую прослойку с чуть более пониженной по сравнению с матрицей X_{Cel} ($Ms-2$: $Ms_{75-81} Pg_{15-20} Cel_{1-3} Fcel_{1-3}$), обрамленную крупными чешуйками биотита-2 (Mg# 42–47, $TiO_2 = 1.9\text{--}3.0$ мас. %), и находящуюся в мелкозернистой сланцеватой матрице (рис. 2 г). Обширные области мусковита-2 в прослойке вокруг андалузита повсеместно замещаются хлоритом.

Таблица 1. Рассчитанные параметры *PT*-условий метаморфизма пород унийской свиты

Образец	Этап	Метод	<i>PT</i> -условия	Погрешность
Силлиманит-гранат-биотитовые гнейсы, скв. Уни-50	Пиковый	<i>Grt-Bt</i> Термометр (H00) [7]	624–644°C	±25°C
	Пиковый	<i>Grt-Sil-Pl-Qz</i> Барометр (H01) [8]	4.1–4.7 кбар	±0.43 кбар
	Пиковый	TWQ 2.34 (Bergman, 07)*	621°C, 5.4 кбар	
	Пиковый	Ti-in- <i>Bt</i> Термометр (WC15) [9]	623–659°C**	±50°C
	Ретроградный	<i>Grt-Bt</i> Термометр (H00)	539–590°C	±25°C
	Ретроградный	<i>Grt-Sil-Pl-Qz</i> Барометр (H01)	2.1–2.8 кбар	±0.43 кбар
	Ретроградный	winTWQ 2.34 (Bergman, 07)	553°C, 2.9 кбар	
	Ретроградный	Ti-in- <i>Bt</i> Термометр (WC15)	557–618°C***	±50°C
Андалузит-двуслюдяные сланцы, скв. Уни-3	Проградный	Ti-in- <i>Bt</i> Термометр (WC15)	540–580°C****	±50°C
	Проградный	<i>Ms-Bt</i> (H89) [10]	520–580°C****	± 22°C
	Пиковый	Ti-in- <i>Bt</i> Термометр (WC15)	570–590°C****	±50°C

* ссылка в Приложении 1.

**при 4–5 кбар по H01.

***при 2.1–4.4 кбар по H01.

****при 2–3 кбар.

ОБСУЖДЕНИЕ

Разнообразие пород унийской свиты может быть связано как с разным протолитом, так и быть результатом разных *PT*-параметров метаморфизма близких по составу исходных пород. Наиболее ярко различия степени метаморфизма выражены в двух пространственно-сближенных скважинах, в разрезах которых фиксируются однородные последовательности пород (гнейсы в скв. Уни-50, сланцы в скв. Уни-3) с незначительными вариациями минерального и химического состава (Приложение 3, табл. 3.1).

Гнейсы скважины Уни-50 являются наиболее информативными для расшифровки параметров кульминационной и ретроградной стадий метаморфизма. В гранатах плавное понижение содержаний *Grs* и *Prp* при увеличении содержания *Sps* и *Alm* от центра (*Grt-I*) к краю зерен (*Grt-II*) (рис. 3 д) указывает на монотонный рост оболочек в ретроградную стадию в условиях равномерно снижающегося давления и температуры при одноактном метаморфизме, возможно, спровоцированный поступлением флюидной фазы при снижении давления [6].

Парагенезис *Grt + Bt + Pl + Qz + Als-2* позволил оценить параметры разных этапов. Для оценки пикового этапа были использованы анализы ядерных частей граната с высокой *X_Prp* (*Grt-I*), центральные части листочков контактирующих с ними крупных биотитов с самым низким Mg# и самым высоким содержанием TiO₂ и X_Al в позиции M2 (*Bt-2*), и центральных частей плагиоклазов с более высоким An (*Pl-I*). Параметры пика метаморфизма, оцененные классическими термобарометрами (*Grt-Bt* и *Grt-Als-Pl-Qz* (GASP)), имеют следующие значения: *T* = 624–644°C, *P* =

= 4.1–4.7 кбар. Составы контактирующих зерен граната, биотита и плагиоклаза (*Grt-2*, *Bt-2*, *Pl-2*) фиксируют теми же методами следующие значения на ретроградном тренде эволюции метаморфизма: *T* = 539–590°C, *P* = 2.1–2.8 кбар. При моделировании с использованием winTWQ были получены оценки для пикового этапа: *T* = 621°C, *P* = 5.4 кбар, для ретроградного этапа: *T* = 553°C, *P* = 2.9 кбар (рис. 4), которые согласуются с полученными данными классической термобарометрии. С использованием этих же составов биотита по термометру Ti-in-*Bt* была оценена температура для давлений разных этапов: 623–659°C при 4–5 кбар³ и 557–618°C при 2.2–4.4 кбар, которая совпадает с оценками обменного *Grt-Bt* термометра (табл. 1).

Тонкая полосчатость гнейсов с чередованием полосок с разным соотношением лейкократовых и меланократовых минералов предполагает их образование в процессе метаморфической сегregationации и, возможно, начало частичного плавления. Множество экспериментальных исследований ([11] и ссылки в ней) объясняет инициацию плавления в гнейсах за счет разложения водосодержащих минералов в отсутствие свободного флюида (дегидратационное, более высокотемпературное) либо с уже присутствующим водным флюидом (более низкотемпературное). По взаимоотношению минералов в гнейсах скв. Уни-50 можно предположить различные механизмы. Например, реликты силиката алюминия (*Als-I*), окруженные каймой КПШ (рис. 2 б), позволяют предположить его участие в реакции плавления [12]: *Bt + Pl + Als + Qz = Grt + Kfs + melt* (1). Этой же реакцией можно интерпретировать пойкилоб-

³ Давления были выбраны в соответствии с полученными давлениями по GASP-барометру.

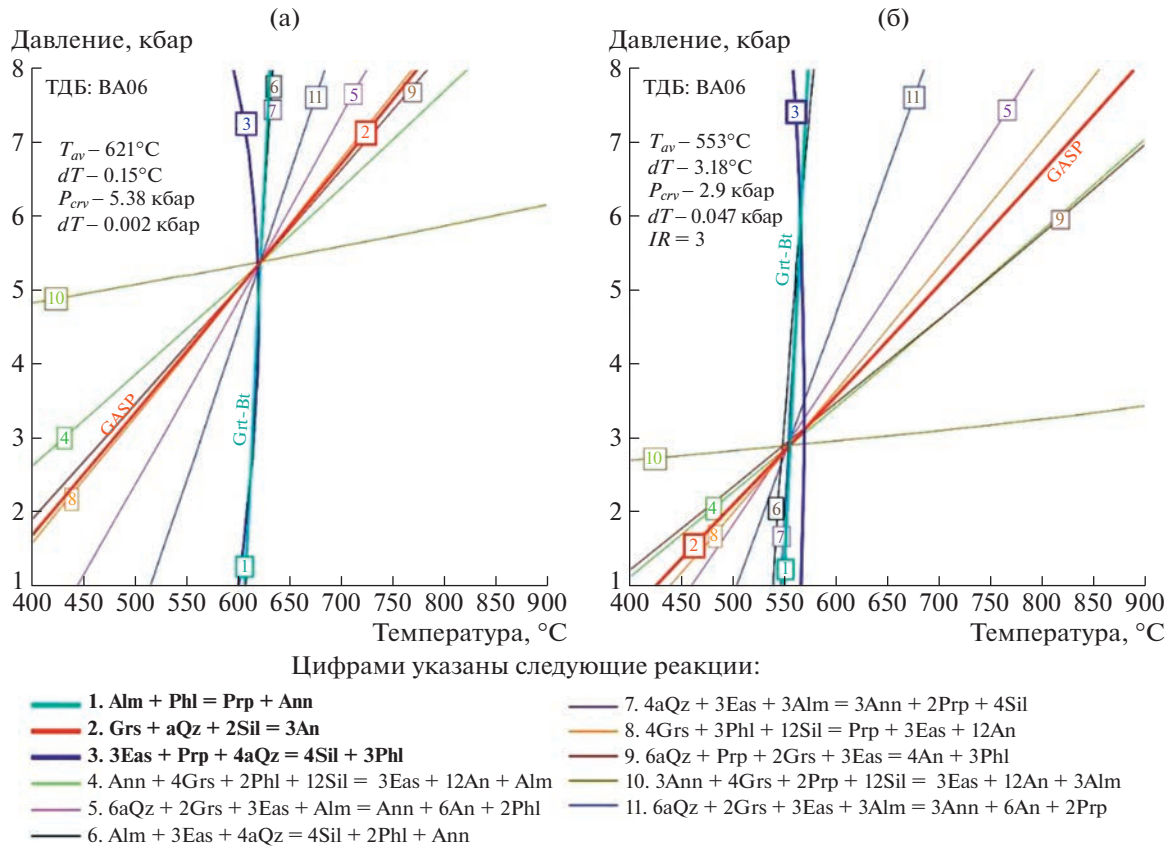


Рис. 4. Диаграммы (winTWQ-2.34) с пересекающимися линиями реакций для системы KCFMASH и парагенезиса $\text{Pl} + \text{Bt} + \text{Grt} + \text{Qz} + \text{Sil}$ в гнейсах скв. Уни-50, определяющих PT -условия для (а): пикового – 662°C , 5.59 кбар, и (б): ретроградного – 553°C , 2.9 кбар этапов метаморфизма. Использовалась согласованная термодинамическая база данных (ТДБ) BA06 (Приложение 1). T_{av} и P_{av} – вычисленные средние значения; dT и dP – параметры сходимости пучка, среднеквадратические отклонения всех учтенных парных пересечений линий реакций от вычисленного среднего значения по двум осям. IR – количество независимых реакций, в списке реакций они обозначены жирным шрифтом, на графике – жирными линиями.

ласти КПШ в зернах плагиоклаза и появление граната в лейкосоме. Но температуры, которые соответствуют реакции (1) по экспериментальным данным [12], несколько выше (700 – 750°C), чем максимальные значения, полученные в данном гнейсе (644°C) (рис. 5), а гранат гораздо чаще встречается в меланосоме. Реликты же силлиманита ($\text{Als}-2$) обильно представлены в лейкосомах вместе с кварцем, плагиоклазом-1, КПШ и в срастании с мусковитизированным биотитом (состава $\text{Bt}-1$) (рис. 2 в). Возможность образования перитектического биотита, силлиманита и КПШ по экспериментальным данным [13] допускается при распаде первичного мусковита: $\text{Ms} + \text{Pl} + \text{Qz} = \text{Kfs} + \text{Sil} + \text{Bt} + \text{melt}$ (2), признаки которого в породе лишь косвенные. При этом обратная реакция (2) также может объяснить появление обильной мусковитизации биотита в зонах с алюмосиликатом при ретроградной гидратации [14]. Но температуры дегидратации мусковита (700 – 750°C для 4–7 кбар) по данным [13] также

выше, чем полученные максимальные значения P и T .

Учитывая эти значения, текстурные особенности можно объяснить водонасыщенным плавлением лейкократовой части [15]: $\text{Qz} + \text{Pl} + \text{Kfs} + \text{H}_2\text{O} = \text{melt}$ (3) (рис. 5). Такое плавление происходит в присутствии свободного водного флюида уже при 650°C (4–5 кбар). В пользу этого механизма говорит также наличие гранитоидных жил на одной глубине с гнейсами в скв. Уни-50.

С помощью термодинамического моделирования с использованием программы GeoPS были рассчитаны температуры пикового этапа метаморфизма гнейса – 670 – 690°C , что превышает оценки по TWQ и классическим методам на 40 – 50°C , диапазон давлений – 4–5.5 кбар – совпадает с рассчитанными значениями (Приложение 3).

В отличие от гнейсов скважины Уни-50, сланцы скв. Уни-3 не несут признаков плавления, но содержат порфиробласты андалузита, который указывает на метаморфизм в более низкобариче-

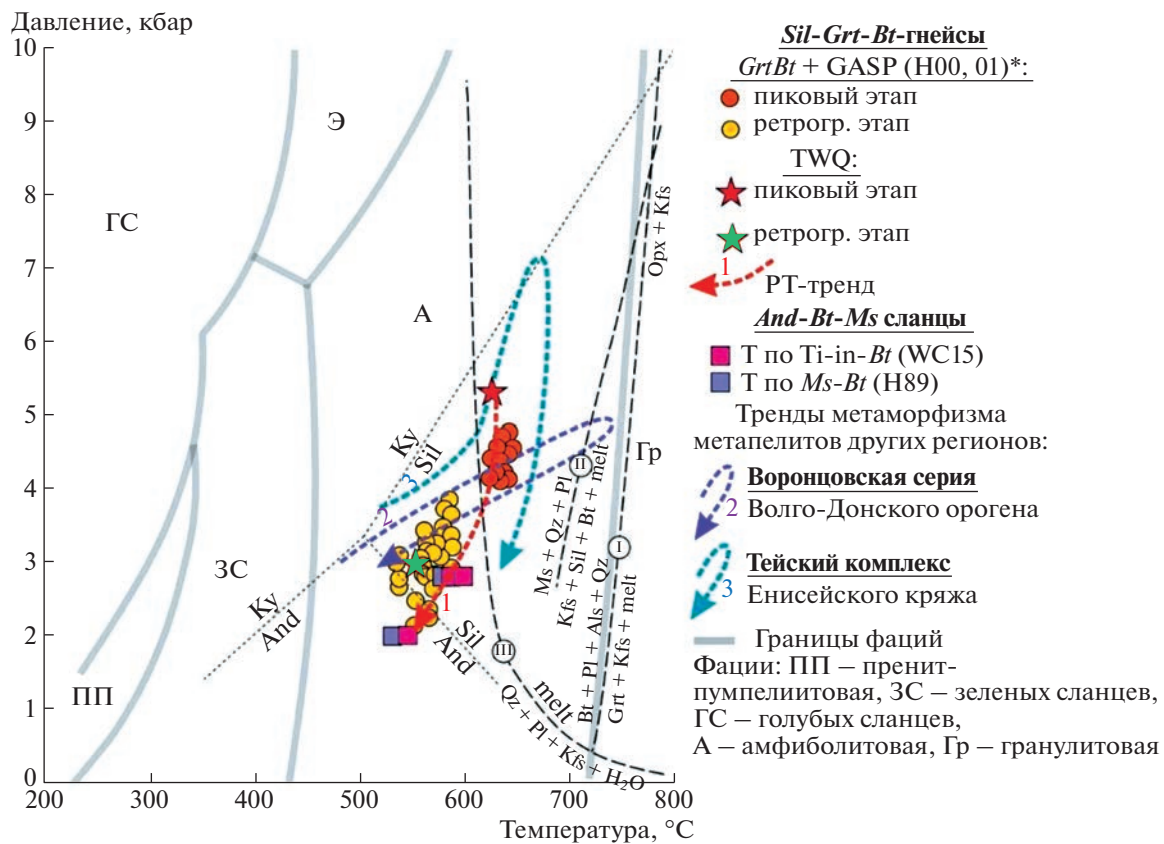


Рис. 5. *PT*-оценки метаморфизма пород унийской свиты по классической и мультиравновесной термобарометрии и *PT*-тренды метаморфизма для пород: 1 – Вятского пояса, 2 – Воронцовского террейна по [17] и 3 – Тейского комплекса по [18] на диаграмме фаций для метапелитов по [19]. Черными пунктирными линиями, подписанными римскими цифрами, показаны известные реакции для гранитоидов и метапелитов соответственно: (I) – [12], (II) – [13], (III) – [15]. * – Расшифровка названий термобарометров приведена в табл. 1.

ских и низкотемпературных условиях. Меньшие содержания *Cel* в мусковите сланцев в отличие от мусковита гнейсов также говорят о более низких давлениях при метаморфизме [16]. Температура формирования мелких зерен биотита (*Bt-1*) в матрице по термометру *Ti-in-Bt* при давлении 2–3 кбар, выбранном в соответствии с ограничениями андалузитовой фациальной серии, оценена в 540–580°C. Обменный *Bt-Ms* термометр в минералах матрицы при тех же давлениях показал температуры 520–580°C. В связи с тем, что X_{Cel} в мусковите матрицы в среднем выше на 2%, чем в мусковите вокруг андалузита, можно предположить, что парагенезис *Bt-1 + Ms-1 + Qz* более ранний, а прослойка *Ms-2 + Chl* вокруг андалузита – ретроградная [16]. Можно также предположить, что крупный биотит (*Bt-2*), обрастающий кайму *Ms-2*, равновесен андалузиту. Вместе эти фазы составляют парагенезис пикового этапа для породы. Температура этого этапа по термометру *Ti-in-Bt* при давлении 2–3 кбар в нем оценена в 570–593°C.

Область ассоциации сланцев на диаграмме псевдосечений, построенной в GeoPS (Приложение-

3), имеет обширный диапазон температур от 520 до 630°C, однако узко ограничивается изоплетами существующей Mg#(*Bt*) от 600 до 630°C (при 2.6–3.4 кбар), что превышает на 10–30°C полученные классическими методами оценки для пикового этапа, и сопоставимо с погрешностями классических термометров (Приложение 3).

Проведенные исследования дают основания для расшифровки эволюции метаморфизма пород унийской свиты. Определение параметров начала проградной стадии затруднено. Вероятно, для сланцев скв. Уни-3 за параметры проградной стадии можно принять *PT*-значения, определенные для парагенезиса матрицы породы (500°C, 2 кбар). Ретроградный тренд для сланцев и гнейсов вполне определен и имеет наклон примерно 2.3 кбар/100°C (рис. 5).

При этом финальная стадия метаморфизма для гнейсов приблизительно совпадает с максимальными значениями для сланцев, но давления и температуры пика метаморфизма, которые сформировали основные парагенетические и структурно-текстурные различия между порода-

ми, в гнейсах выше на 100°C и 2–3 кбар (пиковые условия сланцев и гнейсов: 590°C, 2–3 кбар и 690°C, 5.4 кбар соответственно). В метаморфизме пород можно выделить зональность, по характеру которой метаморфизм изученных гнейсов и сланцев относится к сравнительно малоглубинному типу, к андалузит-силлиманитовой фациальной серии.

Такие превышения *PT*-параметров могли быть связаны с прогрессивным метаморфизмом, вызванным локальным разогревом пород при вязких деформациях в обстановке коллизии [20].

В качестве ближайшего аналога по возрасту метаморфизма и составу протолита можно привести Воронцовский террейн, входящий в состав Волго-Донского орогена в западном обрамлении Волго-Уралии [17]. Он характеризуется образованием метаморфических зон в метапелитах в интервале температур 430–750°C и давлений 3–5 кбар. В террейне были закартированы гранатовая, ставролитовая, ставролит-силлиманитовая, мусковит-силлиманитовая зоны (560–600°C) и наиболее высокотемпературная (до 750°C) силлиманит-калишпат-кордиеритовая зона [17]. Наиболее вероятной причиной метаморфизма авторы указывают увеличение теплового потока при вязких деформациях и складчатости в теплой литосфере в ходе коллизионных процессов. В отличие от Воронцовского террейна в Вятском поясе наклон *PT*-тренда более крутой, характеризующийся схожими температурами только при более низких давлениях, при этом кордиеритовая и ставролитовая зоны отсутствуют (рис. 5).

Наклон *PT*-тренда метаморфических преобразований пород центральной части Вятского пояса более сопоставим с трендом Тейского комплекса Енисейского кряжа (рис. 5), где закартированы четыре зоны регионального метаморфизма, связываемого с утолщением земной коры при коллизионных процессах: биотитовая, гранатовая, ставролит-андалузитовая и силлиманитовая, а также зона более высоких давлений (кианитовая) в районе разлома, связываемая с более поздним локальным динамометаморфизмом [18]. Минеральная ассоциация первой зоны комплекса похожа на парагенезис сланцев скважины Уни-3 (однако отличается отсутствием андалузита), а четвертая похожа на парагенезис *Sil-Grt-Bt* гнейсов скв. Уни-50 (но отличается наличием ставролита). Региональные зоны Тейского комплекса характеризуются увеличением степени метаморфизма по температурной оси по направлению к ядру антиклинали. Увеличение степени метаморфизма, вероятно, имело место и в Вятском поясе по направлению к зоне сочленения с архейским Токмовским мегаблоком, однако требует дальнейшего изучения пород фундамента по имеющимся керну немногочисленных скважин.

ЗАКЛЮЧЕНИЕ

Для пород унийской свиты Вятского пояса установлен зональный метаморфизм андалузит-силлиманитовой фациальной серии в пределах амфиболитовой фации (HT-LP типа). Пиковый этап формирования парагенезиса *Pl + Bt + Qz + Kfs + Grt + Sil* в гнейсах оценен классическими термобарометрами *Grt-Bt* и GASP: 624–644°C, 4.1–4.7 кбар, с помощью *winTWQ*: 621°C, 5.4 кбар и с помощью метода пересечения изоплет в *GeoPS*: 670–690°C, 4–5.5 кбар. Последний метод вместе со структурно-текстурными особенностями гнейса подтвердил частичное плавление в водонасыщенных условиях. Завершающая стадия ретроградного этапа была оценена термобарометрами: 539–590°C, 2.1–2.8 кбар, и с помощью *winTWQ*: 553°C, 2.9 кбар. Область формирования парагенезиса андалузитовой фациальной серии *Pl + Ms + Bt + Qz + Kfs + And ± Chl* в *And-Ms-Bt* сланцах оценена термометрами *Ms-Bt* и *Ti-in-Bt* в 520–590°C при 2–3 кбар, а на диаграмме псевдосечений эта область подтверждена с помощью изоплет магнезиальности биотита и содержаний селадонита.

Учитывая анатексис в гнейсах и температурные оценки от 520 до 690°C в близких зонах метасадочных пород унийской свиты, а также разницу в давлениях от 2 до 5.4 кбар, можно сказать, что в исследуемой внутренней области Вятского пояса имел место высокоградиентный метаморфизм, и для нее наиболее вероятен вариант разогрева в результате вязких деформаций на этапе коллизии в условиях “теплой” литосферы палеопротерозойского орогена, фрагмент которого пояс представляет.

ИСТОЧНИК ФИНАНСИРОВАНИЯ

Исследование выполнено при финансовой поддержке Государственного задания лаборатории петрографии ИГЕМ РАН “Петрология магматизма конвергентных и внутриплитных обстановок: эволюция магматизма в ходе формирования крупных континентальных блоков”.

ДОПОЛНИТЕЛЬНАЯ ИНФОРМАЦИЯ

Дополнительная информация для этой статьи доступна по <https://doi.org/10.31857/S2686739722602836> для авторизованных пользователей.

СПИСОК ЛИТЕРАТУРЫ

1. Кристаллический фундамент Татарстана и проблемы нефтегазоносности. Муслимов Р.Х., Лапинская Т.А. (Ред.). Казань: “Дента”. 1996. 487 с.
2. Ерофеева К.Г., Самсонов А.В., Спиридонов В.А. и др. Новый палеопротерозойский ороген на северо-востоке Восточно-Европейского кратона: первые данные по супракrustальным породам и гранито-

- идам Вятского пояса // М-лы XIII Всероссийского петрографического совещания. Иркутск: Изд-во Института географии им. В.Б. Сочавы СО РАН, 2021. Т. 1. С. 198–201.
3. Bogdanova S.V., Gorbatschev R., Garetsky R.G. EUROPE. East European Craton // Reference Module in Earth Systems and Environmental Sciences. 2016. P. 1–18.
 4. Богданова С.В. Земная кора Русской плиты в раннем докембрии // Тр. ГИН АН СССР. 1986. Вып. 408. 224 с.
 5. Warr L. IMA-CNMNC approved mineral symbols // Mineralogical Magazine. 2021. P. 1–35.
 6. Spear F.S. Metamorphic phase equilibria and pressure-temperature-time paths. Washington DC: Mineralogical Society of America Monograph, 1993. 799 p.
 7. Holdaway M.J. Application of new experimental and garnet Margules data to the garnet-biotite geothermometer // American Mineralogist. 2000. V. 85. P. 881–892.
 8. Holdaway M.J. Recalibration of the GASP geobarometer in light of recent garnet and plagioclase activity models and versions of the garnet-biotite geothermometer // American Mineralogist. 2001. V. 86. P. 1117–1129.
 9. Wu C.-M., Chen H.-X. Revised Ti-in-biotite geothermometer for ilmenite- or rutile-bearing crustal metapelites // Science Bulletin. 2015. V. 60 (1).
 10. Hoisch D.A. Muscovite-biotite geothermometer // American Mineralogist. 1989. 74 (5–6). P. 565–572.
 11. Weinberg R.F., Hasalova P. Water-fluxed melting of the continental crust: A review // Lithos. 2015. V. 212–215. P. 158–188.
 12. Le Breton N., Thompson A.B. Fluid-absent (dehydration) melting of biotite in metapelites in the early stages of crustal anatexis // Contributions to Mineralogy and Petrology. 1988. V. 99. P. 226–237.
 13. Patiño Douce A.E. Effects of pressure and H₂O content on the compositions of primary crustal melts // Transactions of the Royal Society of Edinburgh: Earth Sciences. 1996. 87. P. 11–21.
 14. Brown M. Prograde and retrograde processes in migmatites revisited // Journal of Metamorphic Geology. 2002. 20. P. 25–40.
 15. Johannes W., Holtz F. Petrogenesis and Experimental Petrology of Granitic Rocks. Minerals and Rocks 22. Springer, Berlin. 1996. P. 115–275.
 16. Velde B. Phengite micas: Synthesis, stability, and natural occurrence // Amer. J. Sci. 1965. V. 263. P. 886–913.
 17. Савко К., Самсонов А., Сальникова Е., Котов А., Базиков Н. HT/LP метаморфическая зональность восточной части Воронежского кристаллического массива: возраст, условия и геодинамическая обстановка формирования // Петрология. 2015. Т. 23. № 6. С. 607–623.
 18. Лиханов И.И., Ревердатто В.В. Свидетельства полиметаморфической эволюции докембрийских геологических комплексов Заангарья Енисейского кряжа // Геосферные исследования. 2021. № 3. С. 19–4.
 19. Bushmin S.A., Glebovitsky V.A. Scheme of mineral facies of metamorphic rocks and its application to the Fennoscandian shield with representative sites of orogenic gold mineralization // Proceedings KarRC of Russian Academy of Science. №2. Precambrian Geology Series. 2016. p. 3–27.
 20. Burg J.P., Schmalholz S.M. Viscous heating allows thrusting to overcome crustal scale buckling: Numerical investigation with application to the Himalayan syntaxes // Earth Planet. Sci. Let. 2008. V. 274. P. 189–203.

METAMORPHISM OF UNI SUITE AS AN INDICATOR OF EARLY PRECAMBRIAN COLLISION PROCESSES IN THE VYATKA BELT, BASEMENT OF THE VOLGA-URALIA

T. A. Pilitsyna^{a,b,✉}, K. G. Erofeeva^a, Corresponding Member of the RAS A. V. Samsonov^a,
A. V. Postnikov^c, and D. A. Varlamov^d

^aInstitute of Ore Geology, Petrography, Mineralogy and Geochemistry, Russian Academy of Sciences, Moscow, Russian Federation

^bInstitute of Mineralogy, Geochemistry and Crystal Chemistry of Rare Elements, Moscow, Russian Federation

^cGubkin Russian State University of Oil and Gas (National Research University), Moscow, Russian Federation

^dKorzhinsky Institute of Experimental Mineralogy, Russian Academy of Sciences, Moscow region, Chernogolovka, Russian Federation

[✉]E-mail: allafia@yandex.ru

In the central part of the Vyatka belt, sandwiched between the Archean blocks in the northeast of the Volga-Ural segment of the East European craton, according to the core data from two deep wells, the following mineral parageneses were established in the metapelites of the Uni suite: (1) *Pl + Ms + Bt + Qz + Kfs + And ± Chl* and (2) *Pl + Bt + Qz + Kfs + Grt + Sil ± Ms ± Chl* (without staurolite and cordierite), corresponding to moderate pressure metamorphism of the amphibolite facies. To determine the P-T conditions for these parageneses a set of methods was used, including classical (*Grt-Bt*, GASP, Ti-in-*Bt*, *Ms-Bt*) and multi-equilibrium thermobarometry (winTWQ 2.34), as well as the isopleth intersection method on pseudosection diagrams (GeoPS 3.2.2.128). The calculated P-T values of metamorphism are 520–650°C (or up to 690°C according to the isopleth method) and 2–5.4 kbar. Paragenesis (2) rock was accompanied by anatexis in the water-saturated system. Zoning can be distinguished in the metamorphism of the rocks, it belongs to a relatively shallow type, to the andalusite-sillimanite subfacies.

Keywords: HT/MP-type metamorphism, thermobarometry, winTWQ, GeoPS, metapelites, Paleoproterozoic orogen, Volga-Uralia